

Таблица 5

Источник	Геоматериалы								
	1	2	3	4	5	6	7	7'	8
[2]	66	64	76	65	61	69	60	—	66
[9]	73	59	78	73	65	71	59	65	68
[10]	—	—	79	—	—	74	67	66	72

Примечание. Обозначения те же, что и в табл. 4 ($7'$ — аргиллиты).

В табл. 4 показаны усредненные по каждой группе геоматериалов параметры модели. Этими данными можно пользоваться для ориентировочных расчетов, если тип материала неизвестен.

Эксперименты, выполненные в [8], позволяют оценить влияние скорости деформирования $\dot{\varepsilon}_3$ на параметры τ_3^0 , t_3^0 , M^0 , Λ^0 , Λ_*^0 . Оказалось, что модуль M^0 значительно снижается, а прочность несколько возрастает с ростом $\dot{\varepsilon}_3$. Скорость дилатансии слабо зависит от $\dot{\varepsilon}_3$.

Некоторые авторы [9, 10] предложили уравнения поверхности максимальной прочности записывать через наибольшее и наименьшее главные напряжения. При этом влияние промежуточного главного напряжения не учитывается вовсе. Зависимости, рекомендованные в [9, 10], перестроены к инвариантному виду, и найденные значения показателя степени $S_2 \cdot 10^2$ ($Y_2 \approx 0$) даны в табл. 5, откуда видно, что эти результаты удовлетворительно согласуются друг с другом и с измерениями [2].

ЛИТЕРАТУРА

- Капустяинский С. М., Николаевский В. Н. Количественная формулировка упругопластической дилатансионной модели (на примере песчаника). — Изв. АН СССР. МТТ, 1984, № 4.
- Ставрогин А. Н., Протосеня А. Г. Пластичность горных пород. М.: Недра, 1979.
- Ставрогин А. Н., Тарасов Б. Г. и др. Прочность и деформация горных пород в до-предельной и запредельной областях. — ФТПРПИ, 1981, № 6.
- Sensey P. E., Fossum A. F., Pfeile T. W. Non-associative constitutive laws for low porosity rocks. — Int. J. Numer. Anal. Math., 1983, v. 7, p. 101.
- Wawersik W., Fairhurst Ch. A study of brittle fracture in laboratory compression experiments. — Int. J. Rock Mech., 1970, v. 7, p. 561.
- Stephens D. R., Lilley E. M., Louis H. Pressure-volume equation of state of consolidated and fractured rocks to 40 kb. — Int. J. Rock Mech., 1969, v. 7, p. 257.
- Николаевский В. Н., Лившиц Л. Д., Сизов И. А. Механические свойства горных пород. Деформации и разрушение. — Итоги науки и техники. Сер. Механика деформируемого твердого тела, т. 11. М.: ВИНТИ, 1978.
- Ставрогин А. Н., Тарасов Б. Г., Певзнер Е. Д. Влияние скорости деформирования на запредельные характеристики горных пород. — ФТПРПИ, 1982, № 5.
- Hoek E. Strength of jointed rock masses. — Geotechnique, 1983, v. 33, N 3.
- Brook N. Estimating the triaxial strength of rocks. — Int. J. Rock. Mech., 1979, v. 16, p. 261.

Поступила 4/VI 1984 г.

УДК 539.3 : 534.1

НЕОСЕСИММЕТРИЧНАЯ БИФУРКАЦИЯ РЕШЕНИЯ И УСТОЙЧИВОСТЬ ОБОЛОЧЕК ВРАЩЕНИЯ В УСЛОВИЯХ СИНГУЛЯРНОГО ВОЗМУЩЕНИЯ

B. B. ЛАРЧЕНКО

(Новосибирск)

Рассматривается явление ветвления форм равновесия тонкой оболочки без хлопка. В технике часто ставится задача о выведении оболочечной конструкции из искомого устойчивого состояния, когда она имеет несколько положений равновесия. В инженерной практике такие требования характерны, например, при использовании оболочек в качестве предохранительной хлопающей мембранны, в системах пневматики, содержащих оболочечный элемент, и т. д. Трудности анализа этого типа задач имеют прямое отношение к одной из центральных проблем нелинейной теории оболочек — существованию многих устойчивых форм равновесия при одном значении параметра нагрузки.

В работе анализируется закритическое деформирование близких к совершенным тонких упругих оболочек под действием давления

$$\rho = q\eta + p, \quad p^* = \min_n \{p_n\},$$

где q — малый скалярный параметр; $\eta(\alpha, \beta)$ — функция, характеризующая распределение возмущающего давления по поверхности оболочки; $\{p_n\}$ — собственные значения. Установлена зависимость ветвления неосесимметричной формы потери устойчивости конической оболочки от вида η -функции. Оказалось, что неосесимметричная бифуркация сопровождается либо хлопком, либо выпучиванием. Явление выпучивания характеризуется тем, что достижение точки бифуркации не исчерпывает несущей способности оболочки, а неосесимметричная форма, если она энергетически выгодна, наблюдается в статическом состоянии [1].

Заключение об устойчивости решения основывается, как правило, на анализе показателей Ляпунова. Тем самым устанавливается устойчивость или неустойчивость решения относительно возмущений начальных данных. В работе исследуются особенности деформирования оболочек при различных возмущениях давления по поверхности оболочки. Такой подход имеет не только ясное физическое содержание, но в ряде случаев необходим. Объясняется это тем, что, с одной стороны, весьма сложно контролировать распределение возмущений давления по поверхности оболочки при постановке эксперимента, с другой стороны, качественные исследования влияния этих возмущений существенно уточняют механизм потери устойчивости оболочки.

Обозначим через U_+ множество тех неосесимметричных форм потери устойчивости, ответвление которых сопровождается хлопком, а через U_- — множество таких форм, бифуркация которых отвечает механическому явлению выпучивания. Численным экспериментом обнаружены закономерности в распределении элементов из U_+ и U_- на кривой нагружения при условии, что $\eta(r) = 1$. Оказалось, что при больших давлениях малые неосесимметричные формы конической оболочки относятся к одному из четырех типов решений, отличающихся способом потери устойчивости и характером зависимости количества волн на поверхности оболочки от величины давления.

Необходимо напомнить, что ранее предпринимались неоднократные попытки нахождения устойчивых закритических форм равновесия. Однако все они не привели к положительному результату в классе осесимметричных решений [2]. В данной работе установлено указанное свойство решений нелинейной теории оболочек в силу двух обстоятельств.

1. Закритический анализ проводился не только в осесимметричной постановке, но рассматривались также послебифуркационные неосесимметричные формы.

2. Устойчивые формы равновесия отвечаются в большом количестве лишь тогда, когда значения геометрического параметра оболочки соответствуют условию сингулярного возмущения естественным малым параметром при старшей производной. Однако в этом случае отвечаются также большое число неосесимметричных форм, вообще говоря, принадлежащих U_+ -множеству [3]. Поэтому для эффективного анализа разработан метод вычисления всех локальных форм равновесия на заданном отрезке кривой нагружения и создана программа для ЭВМ, которая автоматически выделяет устойчивые решения.

1. Вариационно-асимптотический анализ почти совершенных оболочек. Рассмотрим устойчивость тонкой упругой оболочки вращения в рамках геометрически нелинейной теории, деформация которой содержит нелинейные члены в «квадратичном» приближении

$$(1.1) \quad \varepsilon = L_1(V) + (1/2)L_2(V) + L_{11}(z, V),$$

где L_1 , L_2 и L_{11} — линейный, квадратичный и билинейный операторы; V — вектор-функция перемещения; z — малое возмущение срединной поверхности оболочки.

Пусть оболочка деформируется под действием давления $\rho(r) = p + q\eta(r)$, где p — равномерное внешнее давление, равное одному из собственных значений $\{p_n\}$ соответствующей нелинейной краевой задачи, линеаризованной в окрестности осесимметричного решения; $\eta(r)$ — положительная достаточно гладкая функция радиуса r ; q — малый скалярный параметр; z — возмущение срединной поверхности оболочки, близкое к неосесимметричной форме потери устойчивости V_1 , т. е. $z = \tau V_1$.

Допустим, что при достаточно малой амплитуде геометрических несовершенств τ перемещение $V(\alpha, \xi, \rho)$ может быть разложено в асимптотический ряд по целым степеням параметра ξ . Параметр ξ характеризует дополнительные перемещения, вызванные ответвлением неосесимметричной формы потери устойчивости [1]:

$$(1.2) \quad V(\alpha, \xi, \rho) = V_0(r, \rho) + \sum_{k=1}^{\infty} \xi^k V_k(\alpha, \rho), \quad \{r, \phi\} = \alpha.$$

Здесь $V_0(r, \rho)$ — вектор осесимметричных перемещений основного напряженно-деформированного состояния.

Исследуем виды потери устойчивости в неосесимметричной постановке, используя принцип возможных перемещений. Для этого подставив (1.2) в (1.1), получим

$$(1.3) \quad \varepsilon = \tau L_{11}(V_1, V_0) + \sum_{k=0}^{\infty} \xi^k \varepsilon_k,$$

$$\varepsilon_k = L_1(V_k) + \frac{1}{2} \sum_{i=0}^k L_{11}(V_{k-i}, V_i), \quad k = 0, 1, \dots$$

Аналогичный ряд для виртуальной деформации, соответствующей виртуальному перемещению δV , имеет вид

$$(1.4) \quad \delta \varepsilon = \tau L_{11}(V_1, \delta V) + \delta \varepsilon_0 + \sum_{k=1}^{\infty} \xi^k \delta \varepsilon_k,$$

$$\delta \varepsilon_0 = L_1(\delta V) + L_{11}(V_0, \delta V), \quad \delta \varepsilon_k = L_{11}(V_k, \delta V).$$

Из степенного ряда (1.3) вытекает, что обобщенное напряжение σ также может быть разложено в ряд по целым степеням ξ , причем коэффициенты этого разложения σ_i удовлетворяют определяющему соотношению $\sigma_i = \Gamma(\varepsilon_i)$, $i = 0, 1, \dots$. Учитывая это, проведем вариационный анализ неосесимметричных форм равновесия в асимптотической форме. Предварительно отметим следующее: коэффициент при ξ^0 в выражении вариации функционала энергии тождественно равен нулю, так как соответствующая краевая задача, описывающая основное осесимметричное напряженно-деформированное состояние, получена на основе вариационного принципа; коэффициент H_1 при ξ , если $\rho = p$, также равен нулю, так как выражение для него представляет собой задачу на собственные значения в вариациях.

Положив в $H_1 \delta V = V_k$, придем к тождеству

$$(1.5) \quad \int_S \{ \sigma_{0,p} L_{11}(V_1, V_k) + \sigma_1 [L_1(V_k) + L_{11}(V_{0,p}, V_k)] \} ds = 0, \quad k = 1, 2, \dots,$$

которому удовлетворяют собственная функция V_1 и k -е приближение Койтера. Здесь S — срединная поверхность; индекс p означает, что величина вычислена при $\rho = p$.

Ограничимся возможными перемещениями в классе собственных функций. Тогда с учетом (1.3)–(1.5) и теоремы взаимности Бетти придем к асимптотической форме вариационного принципа:

$$(1.6) \quad \begin{aligned} \sum_{k=1}^{\infty} \xi^k H_k &= -\tau \int_S [\sigma_0 L_2(V_1) + \sigma_1 L_{11}(V_1, V_0)] ds + \dots, \\ H_1 &= \int_S [\sigma_0 L_2(V_1) + \sigma_1 \varepsilon_1] ds, \quad H_2 = \frac{3}{2} \int_S \sigma_1 L_2(V_1) ds, \\ H_3 &= \int_S [2\sigma_1 L_{11}(V_1, V_2) + \sigma_2 L_2(V_1)] ds, \\ H_k &= \int_S \left\{ \sum_{i=2}^{k-1} \sigma_i L_{11}(V_1, V_{k-i}) + \sigma_1 \left[\frac{1}{2} \sum_{i=1}^{k-1} L_{11}(V_{k-i}, V_i) + L_{11}(V_1, V_{k-1}) \right] \right\} ds \end{aligned}$$

(члены вида $O(\xi^m, \tau^k)$, $k \geq 1, m+k \geq 2$ опущены).

Пусть $0 < \tau < \tau_0$, $\tau_0 \ll 1$. Обозначим через ξ_m значение ξ , при котором функция $q(\xi)$ достигает экстремума. Естественно допустить, что $\xi_m(\tau)$ и $q(\tau) = q(\xi_m(\tau))$ — достаточно гладкие функции параметра τ , причем $\lim_{\tau \rightarrow 0} \xi_m(\tau) = 0$, $\lim_{\tau \rightarrow 0} q(\tau) = 0$. На плоскости (q, τ) функция $q(\tau)$ представляет собой линию экстремальных значений. Чувствительность оболочек к геометрическим несовершенствам можно определять по расположению линии $q(\tau)$ на плоскости. Если кривая $q(\tau)$ лежит в верхней полуплоскости, т. е. $q(\tau) > 0$, $\tau \in (0, \tau_0)$, то будем считать, что оболочка нечувствительна к малым геометрическим несовершенствам. Если кривая $q(\tau)$ расположена в нижней полуплоскости, то отнесем оболочку к классу чувствительных к малым геометрическим несовершенствам. Заметим, что главные члены асимптотики координат точки $(\xi_m(\tau), q(\xi_m))$ удовлетворяют необходимому условию существования экстремума:

$$(1.7) \quad \sum_{k=1}^{\infty} k \xi_m^{k-1} H_k = O(\xi_m^{i-1}, \tau^l), \quad i, l \geq 1.$$

Положив $\xi = \xi_m$ в (1.6), построим решение системы уравнений (1.6), (1.7) в виде рядов

$$(1.8) \quad q = \sum_{k=1}^{\infty} q_{k\tau} \xi_m^k, \quad \tau = \sum_{k=1}^{\infty} \tau_k \xi_m^k,$$

где $q_{k\tau}$, τ_k — неизвестные коэффициенты.

Разложим $\sigma_0(\rho)$, $\varepsilon_0(\rho)$ и $V_0(\rho)$ в ряды Тейлора в окрестности точки $\rho = p$. Подставим их в (1.7) и упростим полученные выражения с помощью (1.5). Отсюда методом неопределенных коэффициентов получим

$$(1.9) \quad q_{2\tau} = -3H_3/J_\eta, \quad J_\eta = \int_s \left[\sigma'_{0,p} L_2(V_1) + 2\sigma_1 L_{11}(\eta V'_{0,p}, V_1) \right] ds,$$

если $J_\eta \neq 0$ и $q_{1\tau} = -2H_2/J_\eta = 0$.

Численный анализ уравнений сферической и конической оболочек показывает (см., например, п. 3), что существует дискретный набор значений геометрического параметра λ , для которого в некоторых точках бифуркации имеет место равенство $H_3 = 0$. Пусть $H_i = 0$ для $i = 2, 3, \dots, k-1$ и $H_k \neq 0$, тогда первый отличный от нуля коэффициент имеет вид $q_{k-1,\tau} = -k J_\eta^{-1} H_k$. Из сравнения параметров Койтера $q_{k-1,\tau}$ для несовершенной оболочки с соответствующим параметром q_{k-1} для идеальной оболочки [1, 4] имеем

$$(1.10) \quad q_{k,\tau} = (k+1)q_k, \quad k = 1, 2, \dots$$

Следовательно, если $q_k > 0$, то $q_{k,\tau} > 0$, если $q_k < 0$, то $q_{k,\tau} < 0$. Таким образом, способ потери устойчивости несовершенной оболочки определяется знаком параметра Койтера для совершенной оболочки, для которой граничные условия, исходная форма срединной поверхности, геометрические размеры, величина и распределение давления совпадают с аналогичными условиями для оболочки, имеющей малые геометрические несовершенства.

Подставим (1.8) в (1.6) и учтем, что $\xi = \xi_m$ в точке экстремума кривой $q(\xi)$. Приравнивая члены при одинаковых степенях ξ_m , с помощью (1.5), (1.10) получим

$$(1.11) \quad q^d \sim d^{k-1} \sqrt{kq_{k-1}} \tau J_\eta^{-1} \int_s \sigma_1 L_1(V_1) ds, \quad d = \frac{k}{k-1}, \quad k = 3, 5, \dots$$

Следовательно, расположение кривой $q(\tau)$ на плоскости (q, τ) определяется функцией $\text{sign}(q_{k-1})$. В [4] показано, что знак параметра Койтера определяется знаком функционала

$$(1.12) \quad J_\eta = \int_0^r u_c(r) \left[\int_0^r \eta(t) dt \right] dr,$$

где $u_c(r)$ — второе приближение в теории Койтера для осесимметричной составляющей нормального перемещения. Отсюда вытекает, что для осциллирующей функции $u_c(r)$ знак функционала J_η и тем самым чувствительность оболочки к малым геометрическим несовершенствам зависят от η -функции. Последняя определяется условиями эксперимента: конструктивными особенностями экспериментальной установки, способом нагружения и т. д.

Проведенное исследование позволяет выделить класс несовершенных оболочек, чувствительных к возмущению давления. Пусть некоторая оболочка имеет осциллирующую функцию $u_c(r)$ в точке $r \equiv \{p_n\}$. Тогда, согласно (1.12), (1.9), (1.8), изменяя распределение возмущающего давления по поверхности оболочки, можно изменить знак параметра $q_{2,\tau}$, а значит, и окрестность существования малой формы равновесия. Так как между механическим явлением потери устойчивости оболочки под действием консервативной нагрузки и свойством бифуркации решения существует вполне определенное соответствие, то можно оболочки, бифуркация равновесия которых зависит от η -функции, отнести к классу оболочек, чувствительных к внешним возмущениям давления. Заметим, что выражение (1.11) при $k = 3$ и $\eta(r) = 1$ получено в [4, 5].

2. Начальное закритическое деформирование оболочек вращения. Обозначим через $\mu = h/a\gamma$ относительную толщину оболочки, где a — радиус в плане, $\gamma^2 = 12(1 - v^2)$, v — коэффициент Пуассона, h — толщина оболочки. Если безразмерный переход совершил по формулам $\Phi_R = E\mu\Phi/a$, $w_R = aw$, $\rho_R = E\mu^2/\gamma$, $r_R = ar$ (E — модуль Юнга), то уравнения конечных перемещений в сжатанной форме

могут быть взяты в виде

$$(2.1) \quad \begin{vmatrix} \mu\Delta^2 & -\Delta_r \\ \Delta_r & \mu\Delta^2 \end{vmatrix} \begin{vmatrix} w \\ \Phi \end{vmatrix} = \begin{vmatrix} L(w, \Phi) \\ -\frac{1}{2}L(w, w) \end{vmatrix} + \rho \begin{vmatrix} 1 \\ 0 \end{vmatrix},$$

$$L(w, \Phi) = w''H\Phi + \Phi''Hw - 2IwI\Phi, H() = r^{-1}[()' + r^{-1}()''],$$

$$I() = r^{-1}[()'r^{-1} - ()''], ()' = \partial/\partial r, ()'' = \partial/\partial\varphi,$$

$$a) r \in \partial\Omega, w = w'' + vHw = 0, H\Phi = -I\Phi = 0;$$

$$b) r \in \partial\Omega, w = w' = 0, H\Phi = -I\Phi = 0;$$

$$v) r \in \partial\Omega, w = w' = 0, \Phi'' - vH\Phi = 0, \Phi''' - H\Phi + 2(1 + v)(\Phi''' + \Phi'') + v(\Phi - \Phi'' + \Phi' - \Phi''' + 2\Phi'') = 0,$$

где $\Delta_r() = r^{-1}[[raR_\varphi^{-1}()' + a(R_r)r^{-1}()'']$; R_φ, R_r — главные радиусы кривизны срединной поверхности оболочки; (φ, r) — полярные координаты. Уравнения (2.1) описывают деформирование упругой пологой оболочки, срединная поверхность которой отождествлена с координатной плоскостью. При выводе уравнений (2.1) используются гипотезы Кирхгофа — Лява, тем самым предполагается, что $\mu \ll 1$.

Анализ неосесимметричной бифуркации из осесимметричного состояния $(w_0(r), \Phi_0(r))$ будем проводить методом Пуанкаре — Ляпунова [6, 7]. Для этого уравнение (2.1) и граничные условия записываются в возмущениях. Линеаризация их в окрестности нуля строится задача на собственные значения и ей сопряженная. Из сравнения последних находится связь между собственными функциями указанных задач. Используя эти функции, проводим регуляризацию возмущенной задачи. После преобразований решение возмущенной задачи аппроксимируется отрезком ряда Пуанкаре — Ляпунова

$$X \sim \sum_{i=1}^d \sum_{j=1}^k X_{ij} \xi^i q^j, \quad X = (w - w_0, \Phi - \Phi_0),$$

что сводит задачу к рекуррентной последовательности краевых задач:
нелинейная задача об осесимметричном деформировании оболочки

$$(2.2) \quad \begin{aligned} \mu Au - r\theta v &= r^{-1} \left(uv + \int_0^r p_n t dt \right), A() = \left[r^{-1} \frac{d}{dr} r() \right]', \\ \mu A v + r\theta u &= -\frac{1}{2} r^{-1} u^2, \quad \theta = a/R_\varphi, \quad \{u, v\} = \{w, \Phi\}', \\ r &= 0, 1, u' + vu = v = 0, u = v = 0, u = v' - vv = 0; \end{aligned}$$

задача на собственные значения

$$(2.3) \quad \begin{aligned} \begin{vmatrix} \mu\Delta^2 + r^{-1}v()' + v'H & -\Delta_r - u'H - r^{-1}u()' \\ \Delta_r + u'H + r^{-1}u()' & \mu\Delta^2 \end{vmatrix} \begin{vmatrix} w_n \\ \Phi_n \end{vmatrix} &= 0, \\ \lambda_i^{(1)} w_n &= \lambda_i^{(2)} \Phi_n = 0, \quad i = 1, 2, \quad r \in \partial\Omega; \end{aligned}$$

задача о закритическом деформировании

$$(2.4) \quad \begin{aligned} \begin{bmatrix} B + \begin{vmatrix} w_n S_w & w_n S_\Phi \\ -\Phi_n S_\Phi & -\Phi_n S_\Phi \end{vmatrix} & \end{bmatrix} \begin{vmatrix} w_{20} \\ \Phi_{20} \end{vmatrix} &= \begin{vmatrix} L(\Phi_n, w_n) \\ -\frac{1}{2}L(w_n, w_n) \end{vmatrix}, \\ \lambda_i^{(1)} w_{20} &= \lambda_i^{(2)} \Phi_{20} = 0, \quad i = 1, 2, \quad r \in \partial\Omega, \quad S_w() = \int_0^{2\pi} \int_0^1 rw_n() dr d\varphi, \quad w \neq \Phi; \end{aligned}$$

$$(2.5) \quad \begin{aligned} \begin{bmatrix} B + \begin{vmatrix} w_n S_w & w_n S_\Phi \\ -\Phi_n S_\Phi & -\Phi_n S_w \end{vmatrix} & \end{bmatrix} \begin{vmatrix} w_{01} \\ \Phi_{01} \end{vmatrix} &= q \begin{vmatrix} \eta \\ 0 \end{vmatrix}, \\ \lambda_i^{(1)} w_{01} &= \lambda_i^{(2)} \Phi_{01} = 0, \quad i = 1, 2, \quad r \in \partial\Omega \end{aligned}$$

(B — матрица 2×2 из (2.3)).

Разложим функцию $\eta(r, \varphi)$ в ряд Фурье. Введем обозначение $q = q_n \eta_n(r)$, где $\eta_n(r)$ — коэффициенты разложения. Используя альтернативу Фредгольма и явные свойства краевых задач (2.2)–(2.5) для коэффициентов X_{ij} , можно показать, что при-

ближеннное уравнение разветвления имеет вид

$$(2.6) \quad L_{01}q_n + L_{11}\xi q_0 + L_{30}\xi^3 + \dots = 0,$$

$$L_{01} = \frac{1}{2} \int_0^1 \eta_n(t) \omega_n(t) dt, \quad L_{11} = - \int_0^1 u_c(t) \left[\int_0^t \eta_0(r) r dr \right] dt,$$

$$L_{30} = \int_0^1 \left[v_c g_2 + u_c g_1 + \frac{1}{2} r (\omega_{2n} h_1 - h_{2n} h_2) \right] r dr;$$

$$(2.7) \quad \{w_{20}, \Phi_{20}\} = \{\omega_{2n}(r), f_{2n}(r)\} \cos 2(n\varphi + \alpha_n) + \left\{ \int_1^r u_c(t) dt, \int_0^r v_c(t) dt \right\},$$

$$\{w_n, \Phi_n\} = \{\omega_n(r), f_n(r)\} \sin(n\varphi + \alpha_n),$$

где $\{\omega_{2n}(r), f_{2n}(r)\}$, $\{u_c(r), v_c(r)\}$ — вектор-функции решения неоднородных краевых задач, которые получаются из (2.4) с помощью (2.7); g_1, g_2, h_1, h_2 — неоднородные части соответствующих краевых задач; α_n — начальная фаза для неосесимметричных гармоник. Из уравнения разветвления вытекает, что если $q_n \neq 0, q_0 \neq 0$, то от соотношения параметров q_n и q_0 зависит число ответвившихся форм равновесия. Этот результат получается применением диаграммной техники Ньютона к уравнению (2.6) [8].

Пусть возмущающее давление осесимметричное и $L_{30} \neq 0, L_{11} \neq 0$. Тогда в малой окрестности критического давления ответвляется одна неосесимметричная форма, имеющая положительную амплитуду ξ . Механические величины для этой формы (перемещения, обобщенные напряжения, деформации) могут быть представлены в виде ряда по степеням q_0 , кратным $1/2$. Если $\text{sign}(L_{30}L_{11}) < 0$, то несущая способность оболочки не исчерпывается при достижении критического давления, а неосесимметричная форма, когда она энергетически выгодна, наблюдается в эксперименте. Процесс потери устойчивости происходит в виде явления выпучивания. Если $\text{sign}(L_{30}L_{11}) > 0$, то бифуркация сопровождается хлопком. Другое разложение Пуанкаре — Ляпунова возникает при следующих ограничениях на уравнение разветвления: $L_{30} = 0, L_{11} \neq 0, L_{50} \neq 0$ (коэффициент L_{40} равен нулю). В этом случае механические величины представляются в виде ряда по степеням q_0 , кратным $1/4$. Выпучивание оболочки происходит, как и раньше, но необходимо заменить L_{30} на L_{50} .

Пусть $L_{11} \neq 0, L_{30} \neq 0, L_{01} \neq 0$. Тогда существует уравнение кривой $q_n = 2L_{11}q_0\sqrt{q_0/3g/3L_{01}}, g = -L_{30}/L_{11}$, разделяющей плоскость (q_0, q_n) на области, в каждой из которых постоянным является количество форм равновесия. Обозначим ветви этой кривой через q_n^+ и q_n^- . Используя диаграммную технику Ньютона для $g > 0$, можно показать, что в правой полуокрестности начала координат, заключенной между q_n^+ и q_n^- , существуют три неосесимметричные формы. В области, лежащей выше q_n^+ и ниже q_n^- , ответвляется одна форма равновесия. Если $q_n > q_n^+$, то $\xi > 0$ при $L_{11}L_{01} > 0$. Если $q_n < q_n^-$, то $\xi > 0$ при $L_{11}L_{01} < 0$. Для $g < 0$ расположение на плоскости (q_0, q_n) описанных областей будет зеркально отраженным относительно оси q_0 .

Из вышеизложенного следует, что количество малых неосесимметричных форм зависит от знака параметра Койтера и знака величины $(L_{11}L_{01})$. Таким образом, оболочка будет чувствительной к распределению возмущающего давления, если u_c или ω_n — осциллирующие функции.

Обозначим $\dim(\text{Ker } B)$ — размерность подпространства нулей оператора B в точке $p = p_n$ — через l . Если $l > 1$, то для анализа форм равновесия необходимо использовать многомерный вариант метода Пуанкаре — Ляпунова. Положим $l^+ = \max l$.

Ниже установлено, если $p > p^*$, где $p^* = \min_n\{p_n\}$, но меньше некоторого p^+ , то $l^+ = 2$. Если $p^+ \leq p < p^-$, то $l^+ = 4$. В последнем случае размерность l может принимать значения 0, 1, 2, 3, 4. Отметим ряд общих закономерностей, характеризующих изменение $\dim(\text{Ker } B)$. При возрастании p величина l^+ не уменьшается. Если l^+ изменяется, то лишь на две единицы, а стремление μ к нулю может повышать значение l^+ .

3. Начальное критическое деформирование конической оболочки. Ниже приведены результаты численного интегрирования уравнений конической оболочки (2.1в), нагруженной равномерным внешним давлением, материал которой имеет коэффициент Пуассона $\nu = 0,34$.

На рис. 1 показано развитие $u_c(r)$ при $\lambda = 14,22$ и различных n . Причем номер кривой соответствует номеру собственного значения $\{p_n\}$. Здесь и далее геометрия оболочки характеризуется параметром λ , равным $\sqrt{\theta/\mu}$, где θ — полурасстояние оболочки.

Видно, что $u_c(r)$ — осциллирующая функция. Следовательно, неосесимметричная бифуркация формы равновесия тонкой конической оболочки, а тем самым и способ

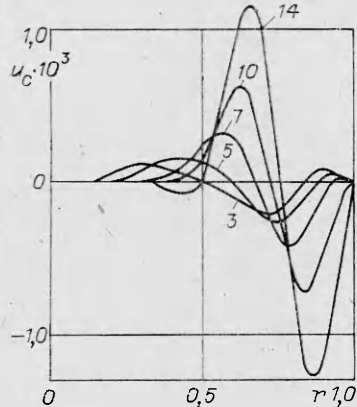


Рис. 1

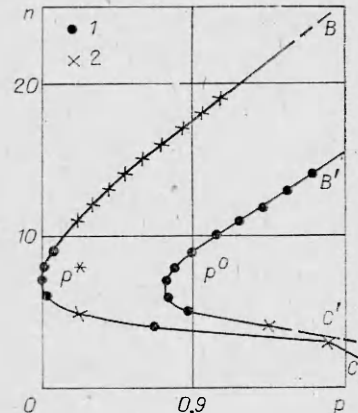


Рис. 2

потери устойчивости зависят от возмущающего давления в окрестности точек спектра. Более того, согласно (1.11), чувствительность этой оболочки к геометрическим несовершенствам зависит от η -функции. Этот вывод носит достаточно общий характер, поскольку он справедлив и для сферической оболочки [1]. Такое же заключение можно сделать для цилиндрической оболочки, с защемленным краем и сжатой в осевом направлении. Это вытекает из выражения (1.11) и численных результатов [9]. Данные, представленные на рис. 1, кроме того, указывают, что для фиксирования способа потери устойчивости (скажем, в виде явления хлопка) необходимо для каждого n задавать отвечающее ему возмущение η . Причем в таких задачах важно контролировать возмущения давления прежде всего в окрестности края. Для тонкой конической оболочки этот эффект особенно выражен, когда неосесимметричная форма характеризуется большим числом волн (см., например, кривые $n = 10, 14$).

На рис. 2 приведена целочисленная функция $n(p_n)$ для $\lambda = 14,22$, где n равно количеству волн в окружном направлении малой неосесимметричной формы. Здесь точки 1 соответствуют неосесимметричным формам, бифуркация которых при равномерном внешнем нагружении сопровождается хлопком, 2 — выпучиванию конической оболочки.

Анализ механических явлений, отвечающих ветвлению решения, проводился по следующей схеме. Численно определялись значения функционалов уравнения разветвления (2.6). С использованием диаграммы Ньютона и теоремы Пьюзе устанавливалась окрестность существования малой формы равновесия ξ_n и проводилось исследование потенциальной энергии Π_n в окрестности ξ_n . Если при $p > p_n$ вторая вариация

$$(3.4) \quad \delta^2 \Pi_n \equiv -4\xi_n^2 L_{30}$$

больше нуля, то бифуркация решения соответствует явлению выпучивания, если при $p < p_n$ справедливо неравенство $\delta^2 \Pi_n < 0$, то бифуркация решения сопровождается хлопком оболочки. Применив принцип Гамильтона — Остроградского в приближении Ландау [10], уравнение динамики для ξ_n приведем к виду

$$\frac{d^2 \xi_n}{dt^2} = \sigma L_{11} \xi_n + L_{30} \xi_n^3, \quad \sigma = p - p_n.$$

Отсюда можно получить, что в первом случае ветвления оболочки находится в автоколебательном режиме, во втором — наблюдается жесткая потеря устойчивости, в процессе которой растет экспоненциально неосесимметричное возмущение.

Из рис. 2 видно, что $p_* = \min_n \{p_n\}$ — простая точка спектра. При $0,392 < p < 0,804$ функция $n(p_n)$ имеет две ветви, описывающие быстро и медленно осциллирующие волны, при $p > 0,804$ — четыре ветви. Две ветви возрастают с увеличением давления, две убывают. По этой причине при движении по кривой нагрузки $w(p)$ возможны два типа потери устойчивости, когда $p \in [0,804; 1,44]$. Если точка спектра принадлежит ветви Bp^* , то имеет место выпучивание, если $B'p^0$, то — хлопок. Таким образом, чередование точек спектра на кривой $w(p)$, принадлежащих ветвям Bp^* и $B'p^0$, приводит к большому разнообразию неосесимметричных форм потери устойчивости. Для рассматриваемой оболочки давление $p = 0,804$ двукратно вырожденное, следовательно, в окрестности этой точки начальное закритическое деформирование весьма чувствительно к геометрическим несовершенствам [11].

Численное интегрирование уравнений конической оболочки в широком диапазоне изменения λ выявило ряд закономерностей, характерных для неосесимметричных форм потери устойчивости. Когда для некоторых λ и p у функции $n(p_n)$ появляются «новые» ветви (как, например, в окрестности точки p^0), тогда на кривой нагрузки

встречается особенно много неосесимметричных форм, у которых параметр Койтера g отрицателен. Эти оболочки отличаются тем, что наличие геометрических несовершенств, имеющих ту же группу вращения, что и соответствующая собственная функция, понижает p -координату точки бифуркации. В противоположность этому точки бифуркации (точки 2 на рис. 2) сдвигаются вправо при наличии такого типа геометрических несовершенств. Детальный анализ методом Пуанкаре — Ляпунова каждой точки бифуркации показал, что при $\lambda = 14,22$ от осесимметричной формы отвествляется 35 форм, имеющих положительную амплитуду ξ , если возмущающее давление осесимметричное.

Отличительная особенность неосесимметричной бифуркации конической оболочки при больших λ состоит в том, что область изменения давления, в которой существует лишь осесимметричная форма, значительно меньше области изменения давления, в которой отвествляются неосесимметричные формы равновесия.

При неосесимметричной бифуркации существует ряд исключений. На ветви p^* отсутствуют закономерности в чередовании точек спектра. На рис. 3 приведены графики для L_{30} . Номера кривых соответствуют номерам собственных значений $\{p_n\}$. Видно, что при одном λ функционал L_{30} может принимать различные значения при изменении n и, согласно (3.1), меняются знак $\delta^2 \Pi_n$ и способ потери устойчивости. В частности, при $\lambda = 14,22$ $L_{30} < 0$ для $n = 5$ и $L_{30} > 0$ для $n = 6$. Этим объясняется изменение характера бифуркации при переходе от $n = 5$ к $n = 6$ на ветви p^* (см. рис. 2). Заметим, что L_{30} меняет знак либо в окрестности точек непрерывности (как, например, в окрестности точки D), либо в окрестности точек разрывов второго рода. В первом случае для исследования начального закритического деформирования тонкой оболочки в уравнении (2.6) необходимо удерживать члены порядка $O(\xi^\alpha)$, $\alpha > 3$. Во втором случае обычно требуется изменить алгоритм численного интегрирования краевых задач, аппроксимируя решение полиномами Чебышева [12]. Рассматриваемая задача имеет особенность, которая состоит в том, что указанное свойство проявляется не только в задаче на собственные значения, как это имеет место для уравнений Навье — Стокса, но и при анализе старших коэффициентов уравнения раззваления. При локальном нагружении оболочек точки второго типа обнаружены в [5].

В заключение отметим, что при исследовании закритического деформирования оболочек с шарнирно-неподвижным и скользящим опорными контурами не установлено качественно новых особенностей в механизме потери устойчивости.

ЛИТЕРАТУРА

- Ларченко В. В. Асимптотический анализ неосесимметричных форм равновесия тонкой пологой сферической оболочки. — ПММ, 1980, т. 44, № 6.
- Шилькруп Д. И., Выран П. М. Об устойчивости геометрически нелинейных оболочек. — ДАН СССР, 1975, т. 225, № 4.
- Kornev V. M., Ermolenko V. M. Sensibility of shells to buckling disturbances in connection with parameters of critical loading spectrum. — Int. J. Eng. Sci., 1980, v. 18, p. 379.
- Koiter W. T. The stability of elastic equilibrium. Air force flight dynamics lab. tech. rept. AFFDL-TR-70-25, 1970.
- Fitch J. R. The buckling and post-buckling behaviour of spherical caps under concentrated load. — Int. J. Solids Structures, 1968, v. 4.
- Poincare H. Sur le probleme de trois corps et les equations de la dynamique. — Acta Math., 1890, v. 13.
- Ляпунов А. М. Об одной задаче Чебышева. Собр. соч. М.: Изд-во АН СССР, 1959, т. 3.
- Чеботарев Н. Г. Многоугольник Ньютона и его роль в современном развитии математики. Собр. соч. М.—Л.: Изд-во АН СССР, 1950, т. 3.
- Ямаки Н. Закритическое поведение и чувствительность к несовершенствам круговой цилиндрической оболочки, подверженной сжатию. — В кн.: Теоретическая и прикладная механика: Тр. XIV междунар. конф. ИУТАМ. М.: Мир, 1979.
- Ландau Л. Д. К проблеме турбулентности. — ДАН СССР, 1944, т. 44, № 8.
- Byskov E., Hutchinson J. M. Mode interaction in axially stiffened cylindrical shells. — AIAA J., 1977, v. 15, N 7. Рус. пер. Ракетн. техника и космонавтика, 1977, № 7.
- Бабенко К. И., Васильев М. М. О доказательных вычислениях в задаче об устойчивости плоского течения Пуазейля. — ДАН СССР, 1983, т. 273, № 6.

Поступила 10/VII 1984 г.